

Письма в ЖТФ, том 19, вып. 4

26 февраля 1993 г.

05.4; 10; 12

© 1993

## УЛУЧШЕНИЕ СВЕРХПРОВОДЯЩИХ ПАРАМЕТРОВ ПЛЕНОК $\text{YBa}_2\text{Cu}_3\text{O}_{7-x}$ ПРИ НИЗКОЭНЕРГЕТИЧЕСКОМ ОБЛУЧЕНИИ ИОНАМИ КИСЛОРОДА

А.В. Зубец, А.И. Стогний,  
В.В. Федотова, А.П. Гесь,  
Л.А. Курочкин

Исследование воздействия ионного облучения на свойства ВТСП пленок является важным с точки зрения возможности формирования микроструктур с отличными от исходного материала свойствами. Известно, что ионная имплантация с энергиями 10–100 кэВ и более вызывает деградацию сверхпроводящих свойств [1], а распыление поверхности пленки ионами инертных газов с энергией ~1 кэВ приводит к образованию на ВТСП пленке тонкого несверхпроводящего слоя с дефицитом кислорода [2]. Воздействие же низкоэнергетических ионов  $\text{Kr}$  и  $\text{O}^{2+}$  [3] на тонкие пленки не приводит к потере сверхпроводящих свойств и может быть использовано для создания субмикронных структур ВТСП.

Ранее нами в работе [4] было установлено, что длительное облучение низкоэнергетическим потоком  $\text{O}^{2+}$  монокристаллических оксидных пленок ведет к улучшению их структуры и ряда физических параметров. Подобная методика была использована в данной работе для воздействия на монокристаллические ВТСП пленки с целью выяснения возможности улучшения их сверхпроводящих свойств.

Облучение ионами кислорода с энергией 0.8 кэВ подвергались пленки состава  $\text{YBa}_2\text{Cu}_3\text{O}_{7-x}$  толщиной 3.5 мкм, выращенные методом жидкофазной эпитаксии на монокристаллической подложке с ориентацией (001) [5]. Образцы помещались на водоохлаждаемом или подогреваемом держателях в камере, откачиваемой до давления  $5 \cdot 10^{-6}$  Тор. Облучение проводилось с использованием широко-

апертурного источника ионов с холодным полым катодом [6]. Плотность тока пучка составляла  $0.4 \text{ mA/cm}^2$ . Кислород в камеру подавался через ионный источник. Рабочее давление составляло  $2 \times 10^{-4}$  Тор. Объемный заряд ионного пучка нейтрализовался по пути распространения. Плотность тока пучка и доза облучения  $D$  измерялись многосеточным зондом с коллектором в виде цилиндра Фарадея. Образцы облучались при комнатной температуре или при температуре  $500^\circ\text{C}$ . Отжиг образцов в течение 3 ч при температуре  $500^\circ\text{C}$  проводился также в вакуумной камере при давлении кислорода  $2 \cdot 10^{-4}$  Тор. Температура начала сверхпроводящего перехода  $T_c$  и ширина перехода  $\Delta T$  определялись по температурным зависимостям магнитной восприимчивости с точностью не хуже  $0.1 \text{ K}$ . Элементный состав пленок контролировался методом электронно-зондового микроскопии. Глубина анализируемого слоя не превышала  $1 \text{ мкм}$ , разрешение при сканировании электронного зонда составляло  $0.1 \text{ мкм}$ . Кристаллическая структура пленок анализировалась методом рентгеновской дифракции излучения  $\text{CuK}\alpha$ .

На рис. 1 представлены зависимости магнитной восприимчивости  $\chi = f(T)$  образцов, подвергнутых воздействиям облучения, отжига и их сочетаний. Кривая 1 соответствует исходному образцу, имеющему  $T_c = 53 \text{ K}$  и широкий переход в сверхпроводящее состояние (показатель неоднородности пленки), с  $\Delta T \approx 10 \text{ K}$ . Отжиг переводит пленку в состояние с  $T_c = 82 \text{ K}$  и  $\Delta T = 2 \text{ K}$  (кривая 2). Кривая 3 характеризует пленку, облученную дозой  $D = 4 \times 10^{19} \text{ ион}/\text{см}^2$  при температуре  $500^\circ\text{C}$ . В этом случае температура перехода  $T_c = 90 \text{ K}$  и  $\Delta T = 1.5 \text{ K}$ . Облучение такой же дозой при комнатной температуре доводит исходную пленку до состояния с  $T = 94 \text{ K}$  и  $\Delta T = 0.5 \text{ K}$  (кривая 4). Последующий отжиг приводит к снижению значения  $T_c$  до  $81 \text{ K}$  и уширению перехода до  $T = 2 \text{ K}$  (кривая 5). Повторное облучение этой же пленки при комнатной температуре дозой  $D = 3 \cdot 10^{19} \text{ ион}/\text{см}^2$  повышает  $T_c$  только до значения  $85 \text{ K}$ , а  $\Delta T$  остается равной  $2 \text{ K}$  (кривая 6).

Из приведенных данных следует, что наиболее существенное повышение  $T_c$  и уменьшение  $T$  наблюдается у пленок, облученных при комнатной температуре. Было установлено, что воздействие облучения перестает сказываться на сверхпроводящих свойствах после однократного набора дозы  $D = 3 \cdot 10^{19} \text{ ион}/\text{см}^2$ , соответствующей времени облучения 3.3 ч. Малое значение  $\Delta T$  и отсутствие других изломов на кривых температурной зависимости магнитной восприимчивости до значения  $45 \text{ K}$  свидетельствует об объемном, а не поверхностном характере изменений, происходящих в пленках при длительном низкоэнергетическом облучении пучком ионов кислорода. Этот вывод подтверждается данными рентгеноструктурного анализа.

На рис. 2 приведены дифрактограммы исходного образца (1) и этого же образца, облученного дозой  $D = 3 \cdot 10^{19} \text{ ион}/\text{см}^2$ , при температуре  $500^\circ\text{C}$  (2), при комнатной температуре (3). В результате облучения улучшается разрешение рефлексов и увели-

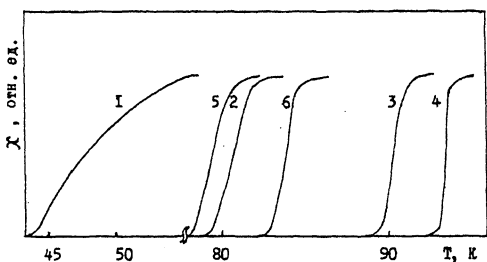


Рис. 1. Зависимости магнитной восприимчивости  $\chi(T)$  в области перехода в сверхпроводящее состояние.

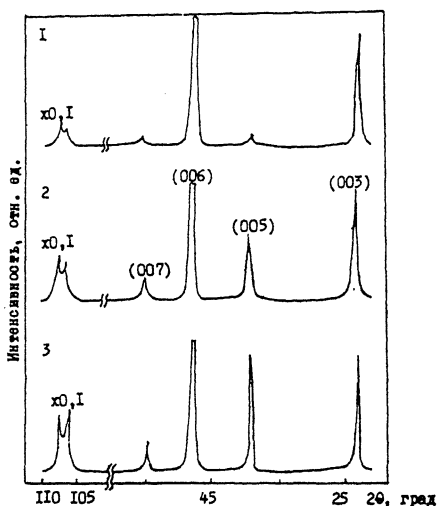


Рис. 2. Рентгеновские дифрактограммы.

чиваются их интенсивность, причем наиболее значительный эффект наблюдается в случае облучения при комнатной температуре. Сложные рефлексы, представляющие комбинацию дифракционных пиков тетрагональной и орторомбической структур (на рис. 2 такой рефлекс лежит в интервале углов  $2\theta = 105-107^\circ$ ), изменяют также свою форму. Следует отметить, что в случае воздействия облучения только на тонкий поверхностный слой следовало бы ожидать уменьшения интенсивности дифракционных максимумов и ухудшения их разрешения ввиду уменьшения толщины пленки путем распыления и образования поверхностного структурно-нарушенного слоя при облучении.

Скорость распыления пленки определялась по контролю за толщиной пленки, она не зависела от температуры и уменьшалась по

мере распыления поверхностного слоя от 0.07 мкм/ч до предельного значения 0.06 мкм/г при толщине распыленного слоя более 0.12 мкм. Соответствующая доза облучения составляла  $D > 2 \times 10^{19}$  ион/см<sup>2</sup>.

С увеличением дозы наблюдалась стабилизация состава поверхностного слоя.

В исходных пленках концентрация меди в направлении от поверхности к подложке возрастала, а концентрация кислорода уменьшалась при постоянной концентрации иттрия и бария. Изменения состава пленок в объеме после облучения не происходило. В поверхностном слое пленок, облученных при 20 и 500°C наблюдалось повышение содержания кислорода. Причем в пленках, облученных при комнатной температуре, концентрация кислорода увеличивалась в большей степени. Одновременно происходило некоторое снижение концентрации меди и повышение концентрации иттрия. Увеличение содержания кислорода, по-видимому, обусловлено его внедрением в кристаллическую решетку, а изменение содержания меди и иттрия связано с различием в дифференциальных коэффициентах распыления. Можно предположить, что при облучении с нагревом десорбция кислорода протекает интенсивнее, чем без нагрева.

Таким образом, в данной работе установлено, что длительное облучение ионами кислорода низких энергий монокристаллической ВТСП пленки вызывает изменение кристаллической структуры как на поверхности, так и в объеме образца, которое, в свою очередь, приводит к улучшению сверхпроводящих параметров.

#### Список литературы

- [1] White A.E., Short K.T., Jackson A.C. et al. // Phys. Rev. 1988. V. 37. P. 3755.
- [2] Enakihari A., Higashina N., Setsu K. and Wasa K. // Jap. J. Appl. Phys. 1989. V. 28. P. L452.
- [3] Ильиничев Е.В., Коваль Ю.И., Иванов А.А., Галкин С.Т. // Письма в ЖТФ. 1992. Т. 18. В. 18. С. 43–46.
- [4] Гесь А.П., Демченко А.И., Стогний А.И. и др. // Письма в ЖТФ. 1991. Т. 17. В. 18, С. 42–44.
- [5] Barilia S.N., Vusikov C.L., Ces A.P. et al. ASC-92, Abstracts, p. 141.
- [6] Стогний А.И., Токарев В.В. // ПТЭ. 1990. № 2. С. 140–144.

Институт физики  
твердого тела  
и полупроводников  
АН Беларуси, Минск

Поступило в Редакцию  
28 января 1993 г.